

УДК 523.774

Вращение солнечной фотосферы по данным наблюдений центральных глубин фраунгоферовых линий

А. С. Гадун, Р. И. Костык, В. А. Шеминова

Из сравнения центральных глубин фраунгоферовых линий в спектре Солнца как звезды с центральными глубинами этих же линий на разных расстояниях от центра солнечного диска найдена скорость вращения Солнца на разных гелиографических широтах $\xi(\phi) = (2.07 - 0.30 \sin^2 \phi) \cos \phi$.

THE ROTATION OF SOLAR PHOTOSPHERE FROM THE OBSERVATIONS OF CENTRAL DEPTHS OF FRAUNHOFER LINES, by Gadun A. S., Kostyk R. I., Shemino-va V. A.—The solar rotation velocity for different heliographic latitudes (formula (1)) has been found from comparison of the central depths of the Fraunhofer lines in the spectrum of the Sun as a star with the central depths of the same lines at different distances from the solar centre.

Скорость вращения Солнца определяют по угловым смещениям каких-либо относительно устойчивых образований на его поверхности (геометрический метод) или по доплеровским смещениям линий в спектре Солнца (спектроскопический метод). Собственные движения солнечных образований являются существенным источником ошибок геометрического метода. Основная трудность спектроскопического метода — измерения малых величин смещений спектральных линий.

Полная библиография работ, посвященных вращению Солнца, приведена в [1, 3]. В данной работе мы определяем скорость вращения Солнца, применяя новый метод, в котором центральные глубины фраунгоферовых линий в спектре Солнца как звезды (в дальнейшем будем такой спектр называть неразрешенным) сравниваются с центральными глубинами этих же линий на разных расстояниях от центра солнечного диска (в этом случае спектр называем разрешенным). Преимущество метода, на наш взгляд, связано с тем, что центральные глубины линий можно измерить с относительно большей точностью, чем их смещения. Необходимость в этой работе возникла потому, что обнаружены большие различия (50—100 %) между скоростями макродвижений в фотосфере, найденными по разрешенным (после усреднения центр — край) и неразрешенным линиям спектра Солнца [4, 6]. Одной из причин такого несовпадения может быть, по нашему мнению, недостаточные знания о скорости вращения Солнца.

Исходным наблюдательным материалом послужили атлас спектра Солнца как звезды [5] и данные о 160 фраунгоферовых линиях, полученные на монохроматоре двойной дифракции телескопа АЦУ-5 ГАО АН УССР [2] для пяти положений на солнечном диске. На рис. а мы приводим разности $d(\odot) - d(*)$ в зависимости от глубины линии в неразрешенном спектре $d(*)$. Величины $d(\odot)$ — усредненные по диску Солнца значения центральных глубин, находили по формуле

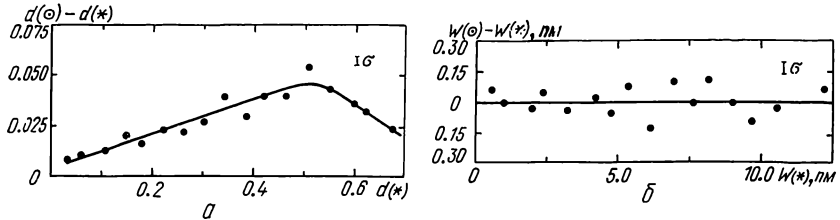
$$d(\odot) = \int_0^1 d(r) j(r) r dr / \int_0^1 j(r) r dr, \quad (1)$$

где $d(r)$ — центральная глубина линии на расстоянии r от центра

диска Солнца, $j(r)$ — монохроматический коэффициент потемнения к краю.

Поскольку величина $d(r)$ нам известна только для пяти положений r (0; 0.60; 0.80; 0.90; 0.96), то интеграл в (1) заменяли суммой. При этом авторы предполагали, что $d(r)$ не зависит от гелиографической широты.

Из рис. а видно, что разности $d(\odot) - d(\ast)$, как и следовало ожидать, положительные и с ростом $d(\ast)$ сначала увеличиваются (максимум при $d(\ast) \sim 0.5$), а затем уменьшаются. Естественно предположить, что они обусловлены вращением Солнца. Однако прежде, чем



Разности центральных глубин *a* и эквивалентных ширин *б* линий поглощения наблюдаемых в разрешенном и неразрешенном спектрах Солнца

из этой зависимости найти скорость вращения Солнца ω , мы построили аналогичный график и для разностей эквивалентных ширин. Поскольку эквивалентные ширины не зависят от ω , то разности $W(\odot) - W(\ast)$ должны равняться нулю. И действительно (рис. б), величины $W(\odot) - W(\ast)$ равномерно распределены относительно нулевой линии и не зависят от $W(\ast)$. В среднем $W(\odot) - W(\ast) = 0.04 \pm 0.11$, что говорит о высоком качестве наблюдательного материала, полученного в ГАО АН УССР и в обсерватории Сакраменто-Пик, а также о правильной методике усреднения значений W и d по диску Солнца. Однако небольшая систематическая погрешность все же имеет место: 0.04 пм в эквивалентных ширинах и 0.004 в центральных глубинах. Последнее значение следует из рис. *a*, поскольку при $d(\ast) \rightarrow 0$ разности $d(\odot) - d(\ast)$ должны также стремиться к нулю. В действительности

$$d(\odot) - d(\ast) \rightarrow 0.004, d(\ast) \rightarrow 0. \quad (2)$$

Нам трудно назвать конкретный источник этой небольшой систематической погрешности. Их может быть несколько. Учитывая эту погрешность, в дальнейшем за нуль-пункт разностей $d(\odot) - d(\ast)$ принимали величину 0.004.

Скорость вращения Солнца мы искали в виде

$$\omega(\varphi) = a + b \sin^2 \varphi \quad (3)$$

из условия

$$\sum_i (d'_i(\odot) - d_i(\ast))^2 = \min. \quad (4)$$

Здесь ω — сидерическая скорость вращения (град·сут⁻¹); φ — гелиографическая широта; a, b — постоянные;

$$d'(\odot) = \frac{\int_0^1 j(\mu) \mu d\mu \int_0^{2\pi} d \left[\mu, \lambda + \frac{\lambda}{c} \omega(\varphi(\mu, P)) \sin(P - P_0) \cos B_0 \sqrt{1 - \mu^2} \right] dP}{2\pi \int_0^1 j(\mu) \mu d\mu}, \quad (5)$$

P_0 , B_0 — позиционный угол северного полюса Солнца и гелиографическая широта Земли в момент наблюдений; $\mu = \cos \theta$; P — текущий позиционный угол.

Мы получили

$$\omega(\phi) (\text{град} \cdot \text{сут}^{-1}) = 14.75 (\pm 0.30) - 2.1 (\pm 1.2) \sin^2 \phi \quad (6)$$

или

$$\phi(\omega) (\text{км} \cdot \text{с}^{-1}) = (2.07 (\pm 0.04) - 0.30 (\pm 0.17) \sin^2 \phi \cos \phi). \quad (7)$$

В таблице приведены наши результаты определения скорости вращения Солнца на разных гелиографических широтах и полученные Ю. А. Солонским — как нам кажется, одни из наиболее точных. Разница составляет в среднем $0.07 \text{ км} \cdot \text{с}^{-1}$, что приблизительно равно удвоенной величине погрешности наших измерений.

Скорость вращения Солнца на разных гелиографических широтах

ϕ , град	ξ , $\text{км} \cdot \text{с}^{-1}$ [3]	ξ , $\text{км} \cdot \text{с}^{-1}$ данная работа	ϕ , град	ξ , $\text{км} \cdot \text{с}^{-1}$ [3]	ξ , $\text{км} \cdot \text{с}^{-1}$ данная работа	ϕ , град	ξ , $\text{км} \cdot \text{с}^{-1}$ [3]	ξ , $\text{км} \cdot \text{с}^{-1}$ данная работа
0	2.03	2.07	30	1.65	1.73	60	0.83	0.92
5	2.01	2.06	35	1.54	1.61	65	0.67	0.77
10	1.97	2.03	40	1.41	1.49	70	0.52	0.62
15	1.92	1.98	45	1.27	1.36	75	0.38	0.46
20	1.84	1.91	50	1.14	1.22	80	0.27	0.31
25	1.74	1.83	55	0.98	1.07			

Если в формуле (3) ограничиться только первым членом разложения скорости вращения ω по зональным сферическим функциям, то из условия минимума функционала (4) находим $\xi = (2.03 \pm 0.12) \text{ км} \cdot \text{с}^{-1}$.

В заключение отметим, что применение нового метода позволило нам исследовать скорость вращения Солнца на разных гелиографических широтах и на разных оптических глубинах. Зависимость $\xi(\phi)$ согласуется с ранее найденными, а поведение $\xi(h)$ существенно отличается. Однако последнее требует дополнительной проверки. Полученные результаты будут использованы при исследовании характеристик Солнца как звезды.

1. Асланов И. А. Сдвиги и уширение фраунгоферовых линий. I.— Астрон. журн., 1963, 40, № 6, с. 1036—1046.
2. Гуртовенко Э. А., Костык Р. И. Монохроматор двойной дифракции ГАО АН УССР с цифровым устройством для автоматизации наблюдений и обработки солнечного спектра.— Астрометрия и астрофизика, 1979, вып. 39, с. 88—94.
3. Солонский Ю. А. Вращение Солнца.— Тр. Астрон. обсерватории Ленингр. ун-та, 1977, 33, с. 112—145.
4. Шеминова В. А. Турбулентность в фотосфере Солнца как звезды. III.— Солнеч. данные, 1984, № 4, с. 75—78.
5. Beckers J. M., Bridges C. A., Gilliam L. B. A high resolution spectral atlas of the solar irradiance from 380 to 700 nanometers.— Sunspot: Sacramento Peak Nat. Observatory, 1976.—175 р.
6. Stenholm L. G. Non thermal velocities in stellar atmosphere. II.— Astron. and Astrophys., 1977, 61, N 2, p. 155—159.

Глав. астрон. обсерватория АН УССР,
Киев

Поступила в редакцию 15.11.84